

Зависимость наблюдаемой константы скорости реакции  $\text{Fe} + \text{O}_2$  от температуры.

1 —  $[\text{Ar}] = 1,5 \cdot 10^{18} \text{ см}^{-3}$ ; 2 —  $[\text{Ar}] = 3,5 \cdot 10^{18} \text{ см}^{-3}$ ;  
3 —  $[\text{Ar}] = 2,0 \cdot 10^{19} \text{ см}^{-3}$ ; 4 — данные из [4]; 5 —  
оценка из [5]; 6 — экстраполяция высокотемпературного участка.

По-видимому, первичной стадией для обоих каналов является образование промежуточного комплекса  $\text{FeO}_2^*$ , который затем может стабилизироваться при столкновениях, давая  $\text{FeO}_2$ , либо распадаться с образованием  $\text{FeO}$  и  $\text{O}$ .

Энергия активации реакции (3) практически равна эндотермике ( $\Delta H_a^0 = 20 \text{ ккал/моль}$ ), а реакция (4) имеет отрицательную температурную зависимость, характерную для рекомбинационных процессов. В итоге в области высоких температур доминирует канал (3), а при низких — (4).

В настоящих условиях реакция (4) протекает в переходной области по давлению, поскольку при фиксированной температуре  $k_{\text{набл}}$  зависит от давления нелинейно.

Насколько авторам известно, температурные зависимости констант скоростей реакций (1) — (4) измерены впервые. В работе [4] в проточном реакторе удалось получить значение  $k_3$  всего лишь при температуре 1600 К, хорошо согласующееся с описываемыми результатами. Опыты в [4] проведены при низком давлении ( $[\text{M}] \sim 10^{17} \text{ 1/cm}^3$ ), когда стадия (4) практически несущественна и полученное значение согласуется с экстраполяцией высокотемпературного участка (см. рисунок), которая представляет температурную зависимость константы скорости реакции (3). В работе [5], выполненной на ударной трубе, приводится оценка  $k_3$  для 2400 К.

Рассчитаны также константы равновесия реакций (1) — (3), с помощью которых определены константы скоростей обратных реакций.

$$k_{-2} = 10^{-(11,7 \pm 0,6)} \exp[-(600 + 1500)/RT] \text{ см}^3/\text{с},$$

$$k_{-3} = 10^{-10,24} \text{ см}^3/\text{с}.$$

Настоящая работа наглядно демонстрирует преимущества методики ударной трубы для измерения констант скоростей реакций атомов металлов. При использовании в качестве источника парообразного металла быстрого распада летучих металлоодержащих соединений в ударной волне удается проводить измерения в широком интервале температур и давлений. Минимальная температура определяется условием быстрого распада металлоодержащего соединения, а максимальная — стабильностью молекул, с которыми реагируют атомы металлов.

Поступила в редакцию  
1/XII 1978

#### ЛИТЕРАТУРА

1. Sh. Matsuda. J. Chem. Phys., 1971, 53, 807.
2. И. С. Заслонко, Е. В. Мозжухин и др. ФГВ, 1978, 14, 2, 101.
3. D. Hussiц. J. Chem. Soc. Far. Trans., 1973, II, 69, 585.
4. A. Fontijn, S. C. Kuzzius, J. J. Houghton. 14-th Symposium on Combustion, 1973.
5. C. W. Rosenberg, J. K. L. Gray, J. Quant. Spectrosc., Radiat. Transfer, 1972, 12, 531.

#### МАГНИТОЭЛЕКТРИЧЕСКИЙ МЕТОД НЕПРЕРЫВНОЙ РЕГИСТРАЦИИ БОЛЬШИХ ДЕФОРМАЦИЙ ПРИ ДИНАМИЧЕСКОМ НАГРУЖЕНИИ КОЛЬЦЕВЫХ ОБРАЗЦОВ

Б. И. Абашкин, И. Х. Забирев  
(Калининград)

Изучению высокоскоростного деформирования тонкостенных кольцевых образцов и определению динамической зависимости напряжение — деформация различных конструкционных материалов при осесимметричном взрывном и ударном нагружении посвящен ряд работ. Важное место в них занимает проблема измерения дина-

мических упругопластических деформаций. Для получения зависимости деформации от времени в работах [4, 2] применялся оптический метод щелевого фоторегистратора, в [3, 4] — контактный метод, в [4] — рентгеноскопический метод, в [5] — тензодатчик, в [6] — проволочный датчик больших деформаций. Погрешность измерения деформаций указанными методами составляет  $+10\%$ . Вычисление напряжений [1, 3] связано с необходимостью двукратного дифференцирования экспериментальной зависимости  $\varepsilon - t$ , приводящего к большим погрешностям. Для повышения точности экспериментальную зависимость заменяют близкой к ней аналитической [1, 2], что снижает погрешность при определении напряжений по оценке [2] до  $+10\%$ .

Для повышения точности измерения деформаций и вычисления величин напряжений разработан и применен магнитоэлектрический метод непрерывной регистрации радиальной скорости осесимметричного движения кольцевого образца. Методика применима для образцов, выполненных из неферромагнитных материалов. Суть метода заключается в следующем. На кольцевой тонкостенный образец 1 (рис. 1) наматывается датчик 2 в виде торOIDной обмотки из тонкого (диаметром 0,1 мм) изолированного медного провода. Образец помещается в постоянное магнитное поле, направление магнитных силовых линий 3 которого совпадает с осью кольцевого образца. Сигнальные выводы 4 от датчика располагались радиально. При осесимметричном деформировании кольца 1 в обмотке датчика, движущегося в плоскости, перпендикулярной направлению магнитных силовых линий, возникает разность электрического потенциала  $U$ , пропорциональная радиальной скорости, окружной длине средней линии кольца радиусом  $R$  и величине магнитной индукции  $B$ ,

$$U = 2\pi RB \cdot dR/dt. \quad (1)$$

В результате интегрирования зависимости (1) с начальными условиями  $t=0$ ,  $R=R_0$  получим

$$R = R_0 \left[ 1 + 1/\pi BR_0^2 \cdot \int U dt \right]^{0.5}. \quad (2)$$

Разделив обе части выражения (2) на  $R_0$  и прологарифмировав, получим истинную деформацию кольцевого образца

$$\varepsilon = \ln R/R_0 = \frac{1}{2} \ln \left[ 1 + 1/\pi BR_0^2 \cdot \int U dt \right]. \quad (3)$$

Подставив (2) в (1), получим зависимость радиальной скорости от времени

$$dR/dt = U/2\pi BR_0 \cdot \left[ 1 + 1/\pi BR_0^2 \cdot \int U dt \right]^{-0.5}. \quad (4)$$

Выражение для скорости деформаций  $\dot{\varepsilon} = d\varepsilon/dt$  получим дифференцированием (3)

$$\dot{\varepsilon} = U/2\pi BR_0^2 \cdot \left[ 1 + 1/\pi BR_0^2 \cdot \int U dt \right]^{-0.5}. \quad (5)$$

Напряжение на участке пассивного расширения тонкого кольца по инерции описывается [1, 3] дифференциальным уравнением

$$\sigma = -\rho R \cdot d^2R/dt^2, \quad (6)$$

где  $\rho$  — плотность материала кольца. Подставив (2) и производную от (4) в (6), получим

$$\sigma = -\rho \left\{ U'/2\pi B - (U/2\pi BR_0)^2 / \left[ 1 + 1/\pi BR_0^2 \cdot \int U dt \right] \right\}. \quad (7)$$

На рис. 2, а сплошной линией приведена экспериментальная осциллограмма  $U - t$  по результатам опыта, выполненного по методике [7] на образце из алюминиевого сплава АМг-6 плотностью  $\rho = 2.7 \cdot 10^3$  кг/м<sup>3</sup> с начальным средним радиусом  $R_0 = 1.55 \cdot 10^{-2}$  м, толщиной  $h_0 = 0.1 \cdot 10^{-2}$  м, шириной  $b_0 = 0.25 \cdot 10^{-2}$  м. Величина индукции магнитного поля в опыте была  $B = 0.3$  Т. Начало участка деформирования кольца по инерции отмечено буквой  $H$ . На этом участке свободная намотка датчика вносит искажение, завышающее величину сигнала за счет инерционного растяжения витков обмотки, которое может быть скорректировано заменой линии  $HK$  на  $HK_1$ , где  $K_1$  — абсцисса точки перегиба в момент прохождения скорости кольца через ноль. На рис. 2, б приведены зависимости  $dR/dt(t)$ ,  $\varepsilon(t)$ ,  $\sigma(t)$ , на рис. 3 — зависимости  $\dot{\varepsilon}(\varepsilon)$ ,  $\sigma(\varepsilon)$ . Построив серию аналогичных кривых по результатам других опытов, можно определить зависимость  $\sigma - \varepsilon$  при различных значениях  $\dot{\varepsilon} = \text{const}$  [1, 2].

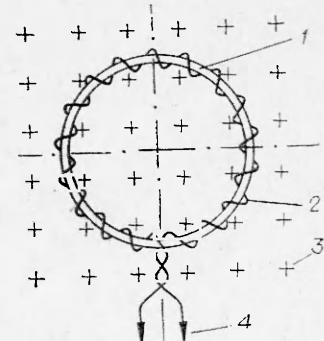


Рис. 1. Устройство образца и датчика.

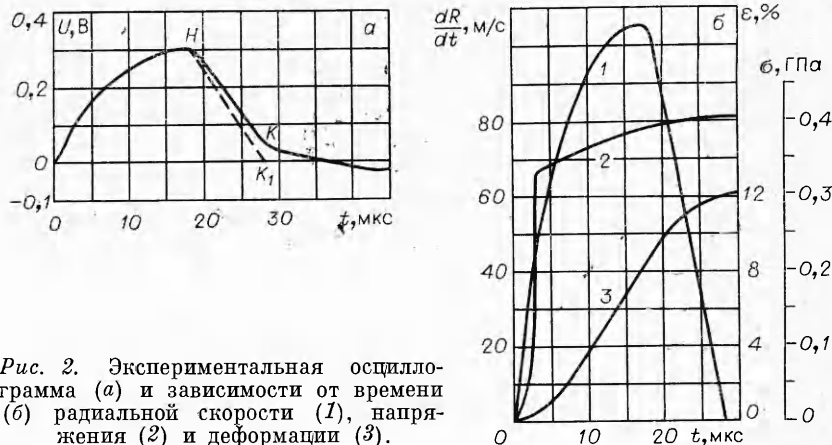


Рис. 2. Экспериментальная осциллограмма (а) и зависимости от времени (б) радиальной скорости (1), напряжения (2) и деформации (3).

Сопоставление остаточной деформации кольца, определенной по результатам обмера после опыта и вычислений по формуле (3) с использованием экспериментально полученной зависимости  $U(t)$ , показало весьма удовлетворительное соответствие. С учетом упругой разгрузки, расхождение не превышало  $\pm 1,5\%$ , что соответствовало погрешности измерений. Как видно из уравнений (3), (5), (8), для определения параметров диаграммы  $\sigma - \varepsilon$  используются экспериментально получаемая зависимость, ее интеграл и первая производная. Основная погрешность вычисления напряжения (8) определяется погрешностью вычисления первой производной  $U'(t)$ . Замена экспериментальной зависимости  $U(t)$  близкой к ней аналитической позволяет [4, 2] снизить погрешность вычисления первой производной до  $\pm 5\%$ .

Таким образом, магнитоэлектрический метод непрерывной регистрации радиальной скорости кольцевого образца обеспечивает определение больших деформаций с погрешностью  $\pm 1,5\%$ , скорости деформаций —  $\pm 3\%$ , а напряжений —  $\pm 5\%$ , т. е. с меньшими погрешностями, чем при других, ранее использовавшихся методах регистрации больших деформаций.

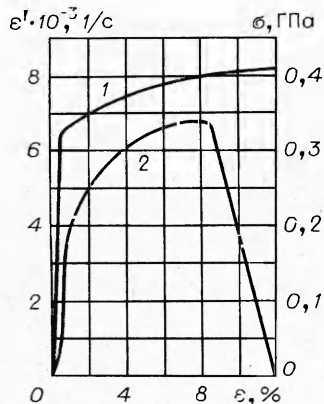


Рис. 3. Зависимости напряжение — деформация (1) и скорости деформации — деформация (2).

Поступила в редакцию  
30/X 1978

#### ЛИТЕРАТУРА

1. C. R. Hoggat, R. F. Recht. Exp. Mech., 1969, 9, 10.
2. В. А. Рыжанский, В. Н. Минеев и др. ФГВ, 1976, 12, 1.
3. Б. И. Абашкин, И. Х. Забиров, П. Д. Крюков. В Всесоюз. симп. по распространению упругих и упругопластических волн. Тез. докл. Алма-Ата, 1971.
4. А. Г. Черников. ФГВ, 1976, 12, 4.
5. H. C. Walling, M. J. Forrestal. AIAA J., 1973, 11, 8.
6. А. Т. Щитов, В. Н. Миллер и др. ФГВ, 1976, 12, 2.
7. Б. И. Абашкин, И. Х. Забиров и др. Авторское свид. № 328369, 1970; Бюл. изобр., 1972, 6.